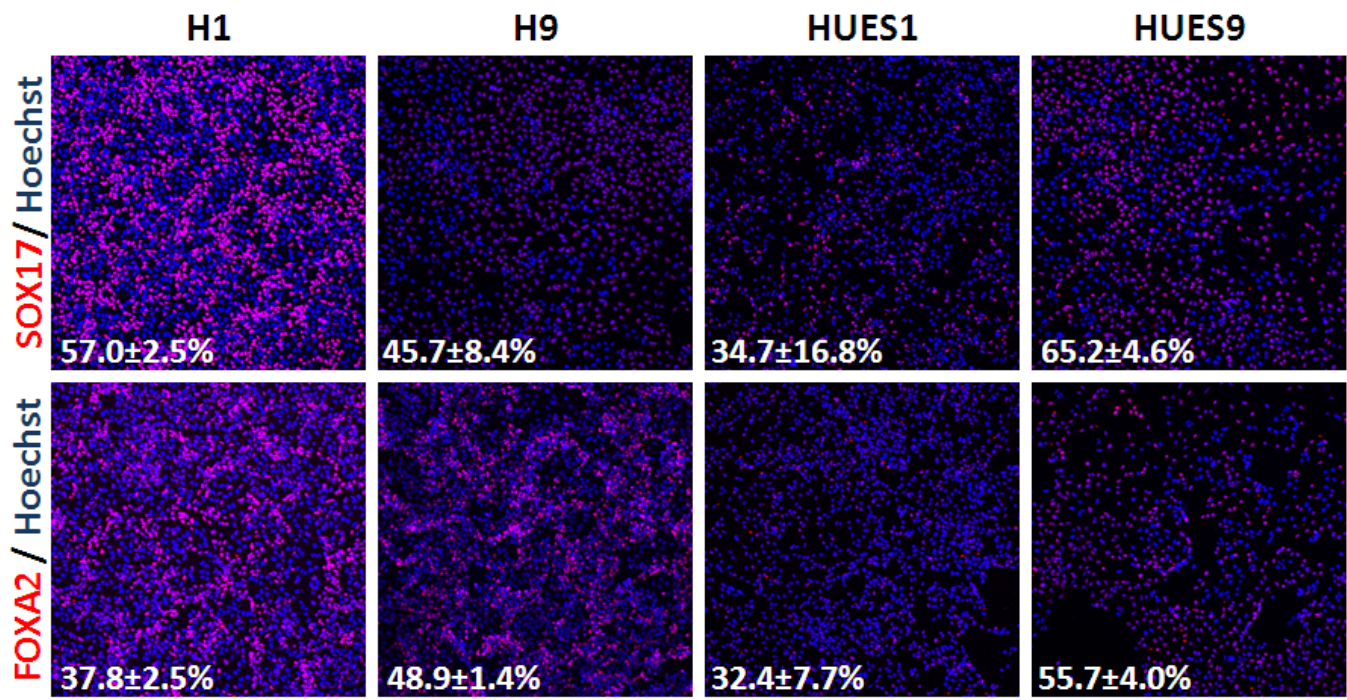
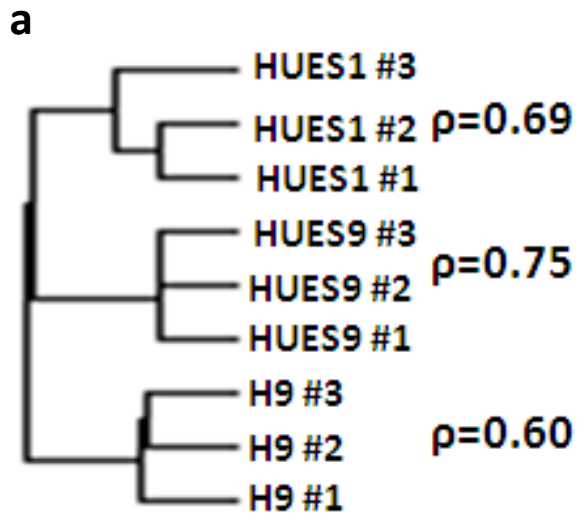


Brafman et al., Supplementary Figure 1

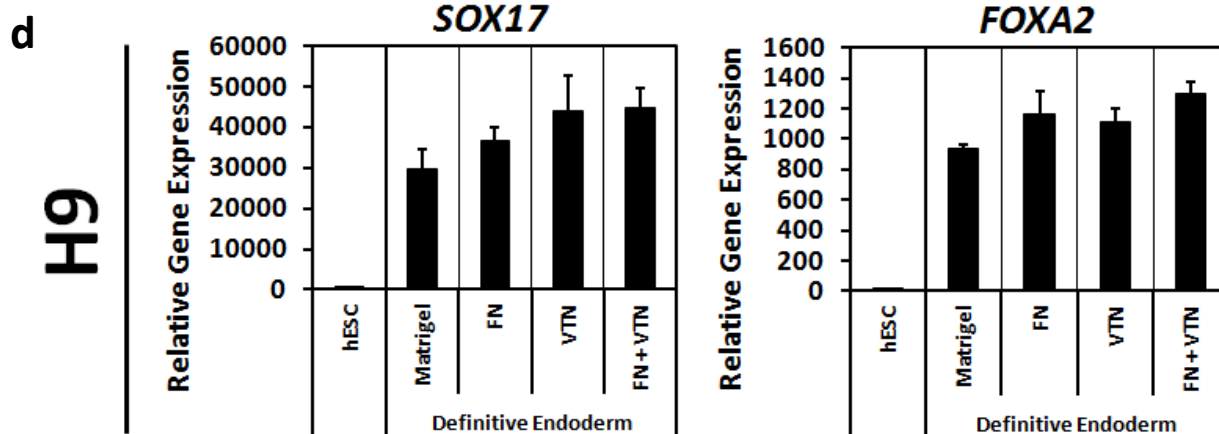
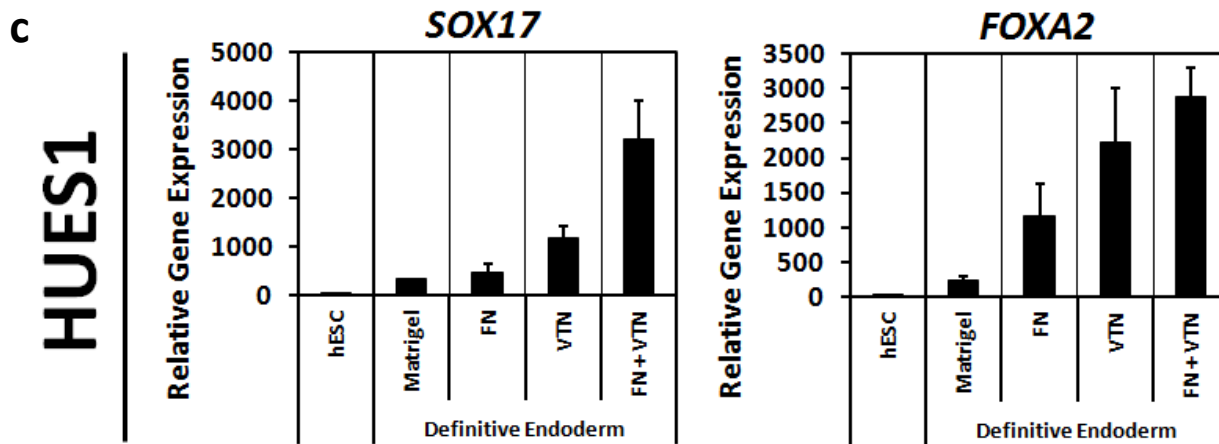
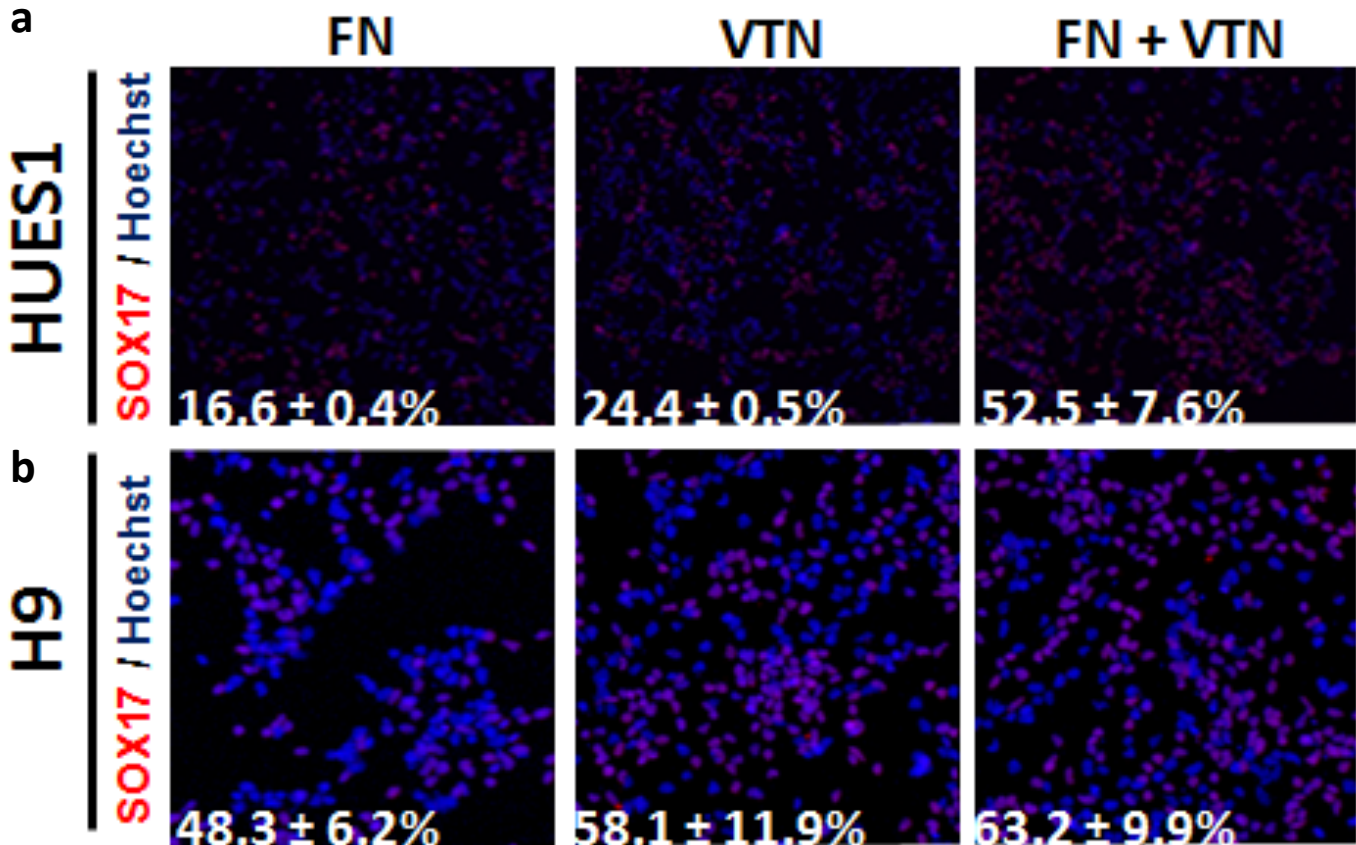


Brafman et al., Supplementary Figure 2

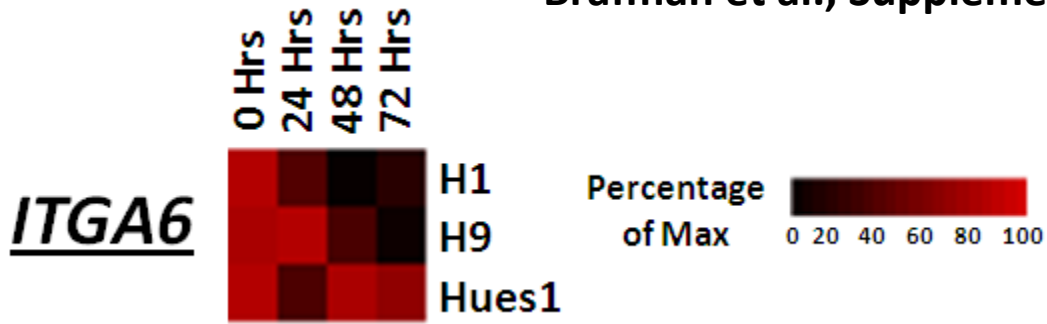


b

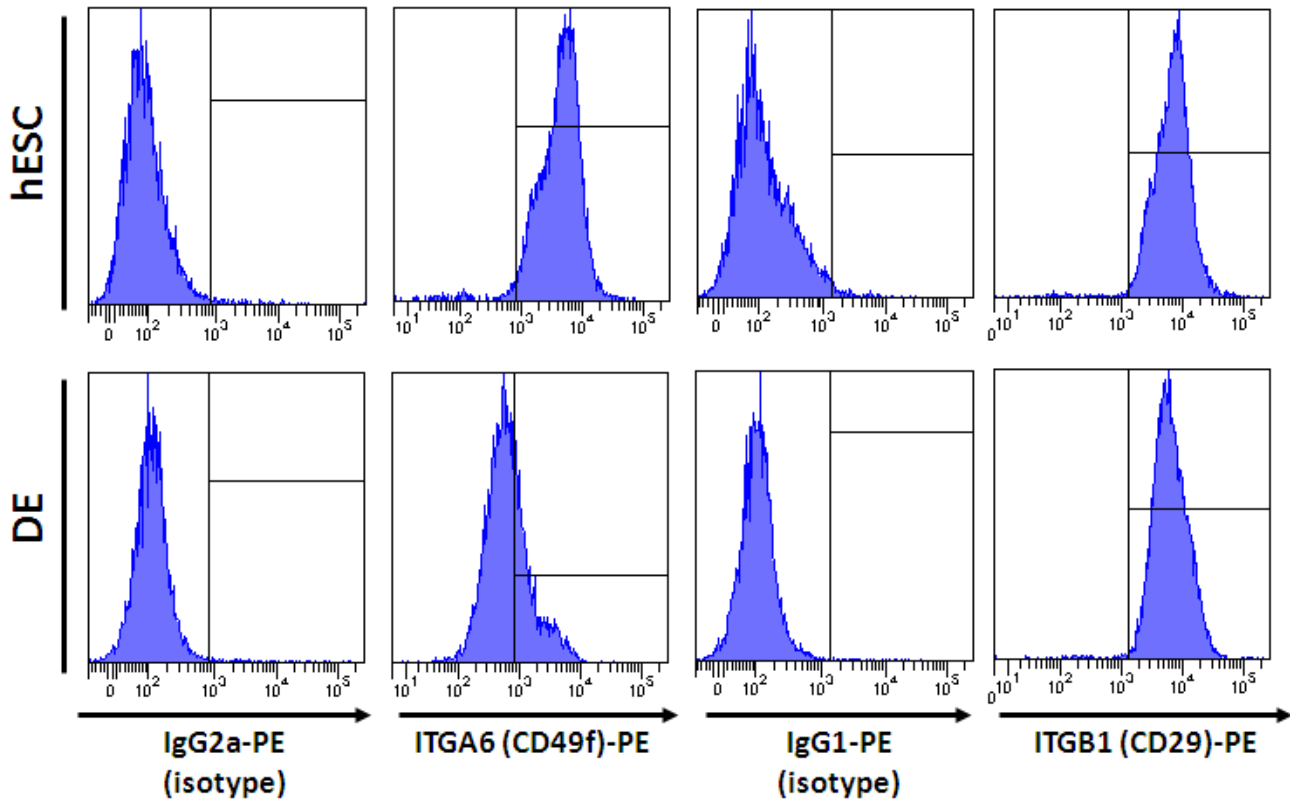
		<u>HUES1</u>			<u>HUES9</u>			<u>H9</u>		
		1	2	3	1	2	3	1	2	3
<u>HUES1</u>	1	1.00	0.56	0.57	0.23	0.15	0.15	0.16	0.07	0.24
	2	0.56	1.00	0.76	0.38	0.39	0.32	0.16	0.16	0.29
	3	0.57	0.76	1.00	0.28	0.24	0.27	0.13	0.10	0.24
<u>HUES9</u>	1	0.23	0.38	0.28	1.00	0.69	0.71	0.17	0.26	0.29
	2	0.15	0.39	0.24	0.69	1.00	0.75	0.18	0.25	0.32
	3	0.15	0.32	0.27	0.71	0.75	1.00	0.17	0.26	0.23
<u>H9</u>	1	0.16	0.16	0.13	0.17	0.18	0.17	1.00	0.72	0.62
	2	0.07	0.16	0.10	0.26	0.25	0.26	0.72	1.00	0.66
	3	0.24	0.29	0.24	0.29	0.32	0.23	0.62	0.66	1.00



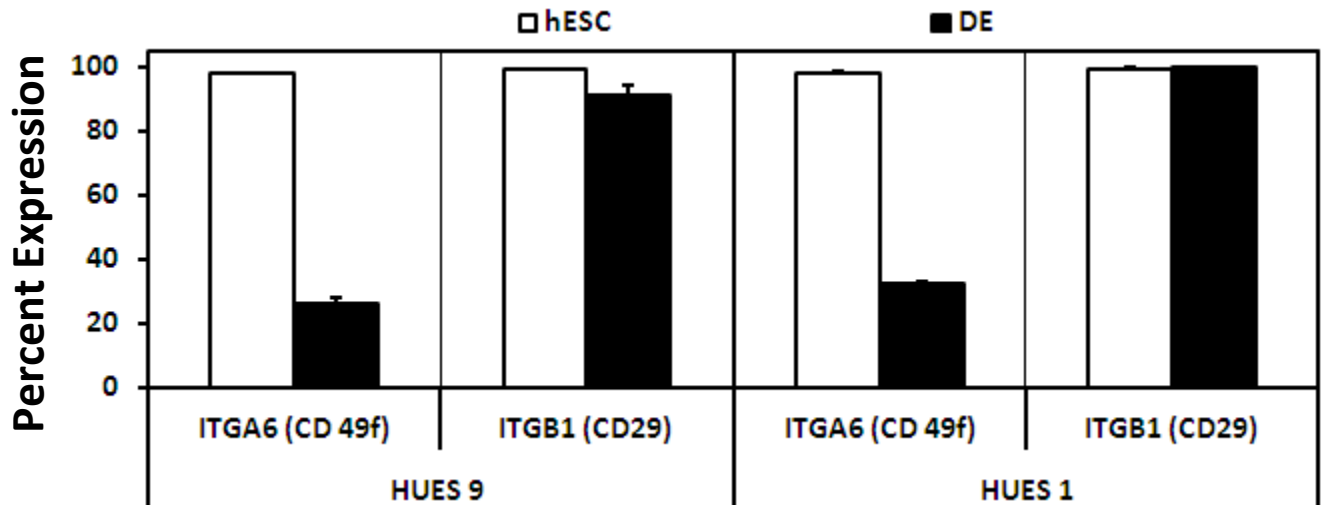
a

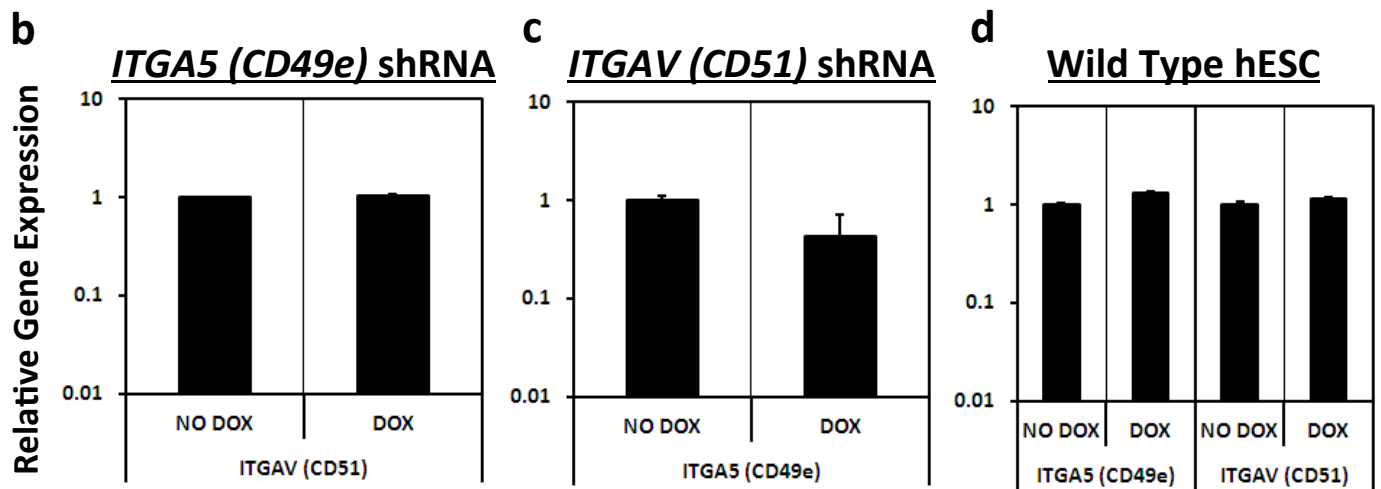
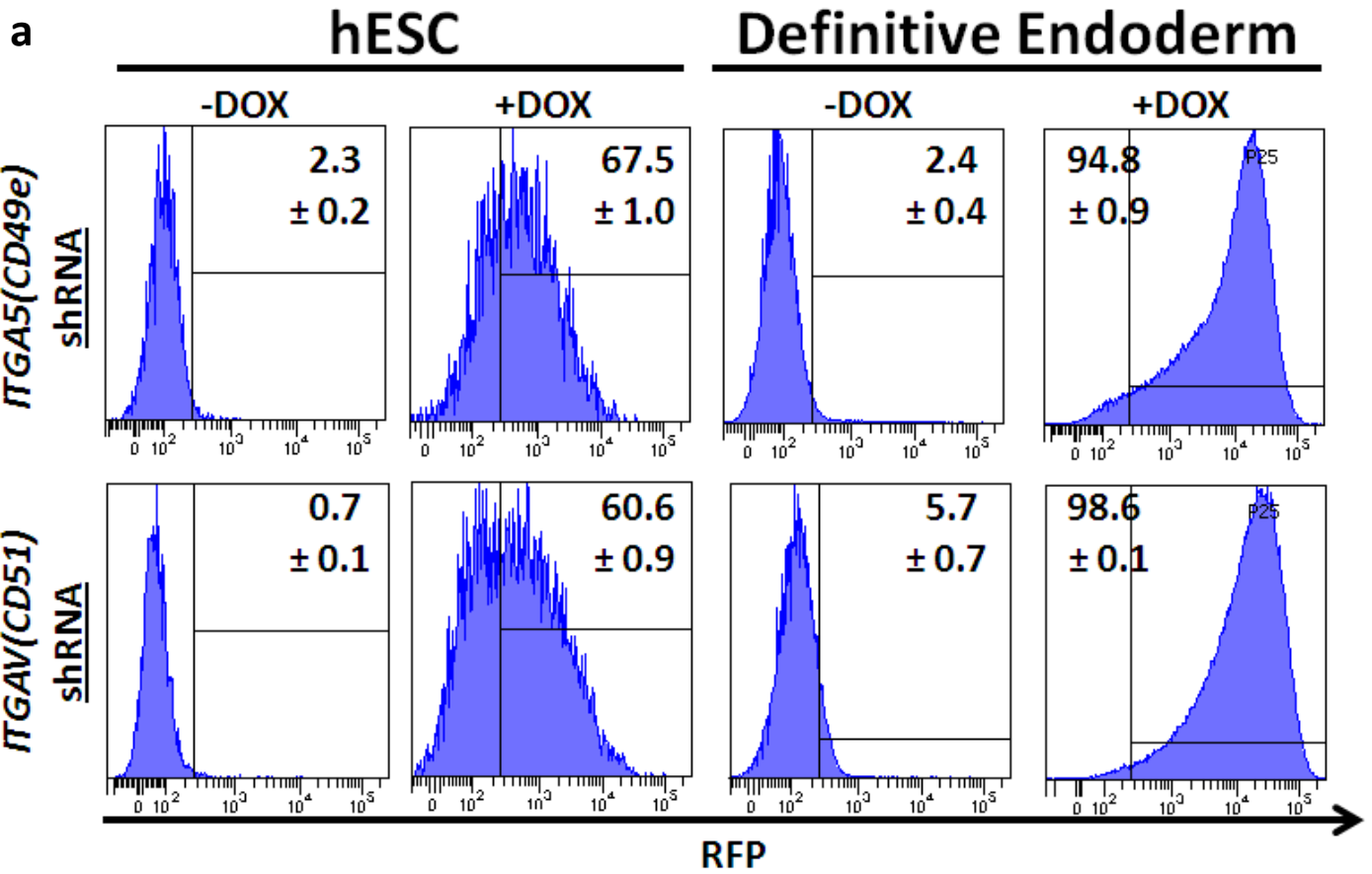


b



c





Brafman et al., Supplementary Figure 6

